DOI: 10.16861/j.cnki.zggc.2025.0020

# 多黏类芽孢杆菌 YF 对番茄灰霉病的生防机制初探

张建强,魏 涛,赖 鑫,王丽华,梁 剑,唐 功

(阿坝师范学院资源与环境学院 四川阿坝 624002)

摘 要:番茄灰霉病是由灰葡萄孢菌 Botrytis cinerea 引起的一种毁灭性的真菌病害,是制约番茄产量和品质提高的重要因素之一。本文以番茄灰霉病原菌及其生防菌为研究对象,开展了生防菌的防治效果和防治机制的初步探究。采用平板对峙试验测得多黏芽孢杆菌 YF 对灰葡萄孢菌抑菌率为 41.04%。通过显微镜观察到菌落边缘受抑制的菌丝变粗,分枝变多,节间空间变小,出现囊泡状异常形状。此外,采用酶活平板检测结果表明,多黏芽孢杆菌 YF 可产生几丁质酶、β-1,3-葡聚糖酶、蛋白酶等胞外酶,并对其发酵液采用正丁醇萃取,萃取物用甲醇溶解成 1 mg·mL¹的溶液,平板对峙试验结果表明其抑菌率达到了 67.86%。通过平板对峙试验法测定了菌株 YF 对常见的 8 种植物病原菌的抑菌率,结果表明,菌株 YF 对 8 种病原菌均有良好的抑制作用,抑制率最低的为 57.69%(核盘菌),最高达到了 68.57%(马铃薯立枯丝核菌)。综上所述,多黏类芽孢杆菌 YF 对病原真菌具有良好的拮抗活性,并具有较高的抗菌物质分泌能力,这为番茄灰霉的生物防治提供了极具应用开发潜力的生防菌株。

关键词:番茄;灰葡萄孢;生物防治;多黏类芽孢杆菌;防治机制

中图分类号:S641.2 文献标志码:A 文章编号:1673-2871(2025)10-061-07

# Preliminary study on the biocontrol mechanism of *Paenibacillus polymyxa* YF against tomato gray mold

ZHANG Jianqiang, WEI Tao, LAI Xin, WANG Lihua, LIANG Jian, TANG Gong

(College of Resources and Environment, Aba Teachers College, Aba 624002, Sichuan, China)

**Abstract:** Tomato gray mold is a devastating fungal disease caused by *Botrytis cinerea*, which is one of the important factors restricting tomato yield and quality. This study focused on *Botrytis cinerea* and its biocontrol bacteria were used as the research object, and explored the control effect and mechanism of the biocontrol bacteria. Plate confrontation assays showed that *Paenibacillus polymyxa* YF exhibited an inhibition rate of 41.04% against *B. cinerea*. Microscope observation revealed significant morphological abnormalities in the hyphae at the conony edges, characterized by thickened hyphae, increased branching, shortened internoded, and the presence of vesicle-like structures. Enzyme activity plate detection further showed that *P. polymyxa* YF could produce chitinase,  $\beta$ -1,3-glucanase and protease. When the fermentation broth was extracted with n-butanol and the extract was dissolved in methanol to 1 mg·mL<sup>-1</sup> solution for plant confrontation assyas, the inhibition rate increased to 67.86%. In addition, strain YF exhibited broad-spectrum inhibitory activity against eight common plant pathogens, with the lowest inhibition rate was 57.69% against *Sclerotinia sclerotiorum* and the highest of 68.57% against *Rhizoctonia solani*. In summary, *P. polymyxa* YF has significant antagonistic activity and antibacterial substance secretion ability, providing a highly promising biocontrol strain for the biological control of tomato gray mold.

Key words: Tomato; Botrytis cinerea; Biological control; Paenibacillus polymyxa; Control mechanism

番茄是重要的蔬菜作物,全球年总产量达 1.7 亿 t,在蔬菜作物中位居首位。2024 年我国加工番茄种植面积约 12.0 万 hm²,取代了美国(10.7 万 hm²)世界第一的生产地位,实现历史性跨越[1]。近年来,随着科技的进步,种植技术和种植条件不断优化,使

番茄的产量不断升高,但集约化种植却始终无法避免番茄病害的发生。其中,番茄灰霉病是普遍发生的导致番茄产量下降、品质降低的主要病害之一<sup>[2]</sup>。

番茄灰霉病是由灰葡萄孢菌 Botrytis cinerea 引起的一种毁灭性的靠空气和土壤传播的真菌病害,

收稿日期:2025-01-06;修回日期:2025-05-13

**基金项目:**国家自然科学基金(32360298);德阳市重点研发项目(2022SZ052);阿坝师范学院校级课题研究项目(AS-HBZ2023-66);阿坝师范学院成果转化项目(AS-CGZH2023-03)

作者简介: 张建强, 男, 讲师, 主要从事植物病原菌及其生物防治研究。E-mail: zjqyam2016@163.com

通信作者: 唐 功, 男, 教授, 主要从事植物与微生物生理生化研究。E-mail: 504554565@qq.com

被称为世界第二重要的植物病原体[3-4]。为了防治 这种病害,目前灰霉病的防治主要依靠化学农药。 但农药残留不仅会造成环境污染,还会使真菌产生 抗药性的风险增高[5]。目前,已知多种有效防治番 茄灰霉病的微生物,并且已从这些拮抗微生物中分 离出大量能够替代化学农药的杀菌代谢产物。这 些微生物通过竞争、寄生、捕食等多种方式来减少 病原菌的数量,同时还可以产生各种有益的代谢产 物,如抗生素、裂解酶、铁载体、植物生长激素等,从 而增强植物的抗病能力[6-7]。多黏类芽孢杆菌能够 溶磷、固氮、分泌植物激素(IAA)、分泌多种抗菌物 质[8-9],其中起主要抑菌作用的物质包括了多黏菌 素、黏菌素、杀镰孢菌素和十三肽素[10-12]、挥发性物 质[13]。除此之外还可分泌胞外酶,包括几丁质酶、纤 维素酶、木聚糖酶、β-1,3-葡聚糖酶、淀粉酶、蛋白酶 和脂肪酶等多种水解酶,这些胞外酶对病原菌起到 极为重要的抑制作用[14]。综上所述,因菌株的不同, 所分泌的抗菌物质也有所不同。为了更好地探明 番茄灰霉生防菌 YF 的生防因子,笔者采用了平板 酶活检测和生防菌 YF 发酵液萃取物质进行抑菌试 验,以期为番茄灰霉病的生物防治奠定理论基础。

## 1 材料与方法

#### 1.1 材料

1.1.1 生防菌 试验中所用的生防菌为多黏类芽孢杆菌 YF(Paenibacillus polymyxa),分离于兰州交通大学,并获得中国微生物菌种保藏管理委员会普通微生物中心保藏编号:CGMCC No. 21517。

1.1.2 病原真菌 灰葡萄孢菌(B. cinerea)、禾谷镰 刀菌(Fusarium graminearum)、番茄匍柄霉(Stemphylium lycopersici)、马铃薯立枯丝核菌(Rhizoctonia solani)、番茄链格孢(Alternaria solani)、细极链格孢(A. tenuissima)、番茄晚疫病菌(Phytophthora infestans)、核盘菌(Sclerotinia sclerotiorum)、尖孢镰刀菌(F. oxysporum),试验中所有病原真菌均保存于兰州交通大学。

1.1.3 培养基 PDA 培养基:葡萄糖 20 g,马铃薯 200 g,琼脂 20 g,蒸馏水定容至 1 L,pH 7.0。LB 培养基:蛋白胨 10 g,酵母粉 5 g,氯化钠 10 g,琼脂 20 g,蒸馏水定容至 1 L,pH 7.0。纤维素酶检测培养基:磷酸氢二钾 0.5 g,硫酸镁 0.25 g,明胶 2 g,羧甲基纤维素钠 1.88 g,刚果红 0.2 g,琼脂 20 g,蒸馏水定容至 1 L。几丁质检测培养基:蛋白胨 2 g,硫酸镁 0.5 g,2%胶体几丁质 250 mL,琼脂 20 g,

酵母膏 1 g,pH 7,蒸馏水定容至 1 L。蛋白酶检测培养基:脱脂奶粉 20 g,琼脂 20 g,蒸馏水定容至 1 L。生防菌 YF 液体发酵培养基:蔗糖 15 g,蛋白胨 15 g,硫酸镁 5 g,氯化钙 3 g,蒸馏水定容至 1 L。

#### 1.2 方法

试验于 2024 年 5-11 月在阿坝师范学院黑土 坡智慧农业科创园试验种植基地进行。

1.2.1 生防菌 YF 拮抗效果测定 将病原真菌番茄灰葡萄孢菌接种在 PDA 培养基上培养并检查其质量,将培养 5 d 的番茄灰葡萄孢菌菌丝打成直径为 8 mm 的圆饼状,然后将这些圆饼用接种针放在培养皿的正中央。接着,用十字交叉法把培养 24 h 的多黏芽孢杆菌使用无菌牙签在菌饼距离为 2 cm 处接种,对照组不接种多黏芽孢杆菌[15]。在黑暗条件下 25 ℃进行培养,持续 5 d。设置 3 次平行重复试验,确保测定生物防治效果数据的准确性。如果形成抑制带,则表明菌饼具有生物防治作用,并在显微镜下观察受抑制的菌丝的形态结构。抑菌率的计算公式为:

抑菌率/%=(对照组菌落直径-试验组菌落直径)/对照组菌落直径×100<sup>[16]</sup>。

1.2.2 生防菌 YF 胞外酶活性测定 菌株 YF 分泌蛋白酶、葡聚糖酶、几丁质酶的定性测定:将培养24 h 的菌株 YF 分别点接在蛋白质检测培养基、纤维素酶检测培养基、几丁质酶检测培养基平板上,30 ℃培养 24~48 h,观察其透明圈的直径大小并计算 D 值(透明圈直径一菌落直径),测定其蛋白酶、葡聚糖酶和几丁质酶活性。

1.2.3 发酵上清液的制备 将菌株 YF 接种于液体 发酵培养基,28 ℃、140 r·min<sup>-1</sup>培养 24 h,取 100 μL 接种到 500 mL 液体发酵培养基继续培养 48 h。菌株 YF 发酵液于 4000 r·min<sup>-1</sup>离心 10 min,取上清液 备用。

1.2.4 有机溶剂萃取物抑菌活性的测定 参考刘晓婷等[17]、丁森等[18]、Zhang等[19]的方法,并做改进。将上一步收集的上清液加入等体积的正丁醇萃取 3次后合并有机相,于旋蒸仪中浓缩,挥发干溶剂,萃取物用甲醇溶解,配成 1 mg·mL¹的甲醇溶液。采用平板对峙培养法测定抑菌圈大小。取番茄灰霉病菌的菌饼置于 PDA 平板中央,将 20 μL 的甲醇提取物和甲醇分别接种于距离平板中央 25 mm 处的已打好的孔中,以只接番茄灰霉病菌的平板为对照,25 ℃培养 4 d,十字交叉法测量抑菌圈直径。每处理 3 次重复。

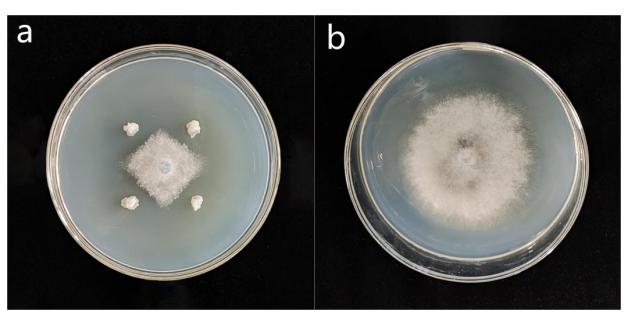
1.2.5 生防菌 YF 抑菌谱的测定 选取禾谷镰刀菌、番茄匍柄霉、马铃薯立枯丝核菌、番茄链格孢、细极链格孢、番茄晚疫病菌、核盘菌、尖孢镰刀菌这8种常见的植物病原真菌与多黏类芽孢杆菌 YF 做对峙试验,将各病原真菌分别接种在马铃薯葡萄糖琼脂培养基上活化,将培养 5 d 的病原菌制成直径8 mm 的菌饼,将其用接种针接种在培养皿的正中央。接着,用十字交叉法把培养 24 h 的多黏芽孢杆菌使用无菌牙签在距离菌饼 2 cm 处接种。在黑暗条件下 28 ℃进行培养,持续 5 d。进行 3 次平行重复试验,确保测定生物防治效果数据的准确性。如果形成抑制带,则表明菌饼具有生物防治作用,并根据抑菌率公式计算其抑菌率。进而得出生防菌YF 对其他病原真菌的抑制效果,判断生防菌 YF 对 植物常见致病菌是否具有抑菌活性。

## 2 结果与分析

#### 2.1 菌株 YF 对番茄灰霉菌的拮抗作用

菌株 YF 对番茄灰霉菌的拮抗作用在对峙培养

平板中拮抗效果明显(图 1),抑菌率可达 41.04%,与对照组相比,处理组菌丝生长缓慢且稀薄。边缘菌丝显微观察显示(图 2),菌株 YF 对番茄灰霉菌菌丝的生长有明显的影响,与对照组正常生长的菌丝(图 2-a)相比,受生防菌抑制的灰霉菌菌丝膨大变粗,分枝增多,节间缩小(图 2-b),出现囊泡状畸形,伴有细胞壁破裂、细胞质外泄的现象(图 2-c)。

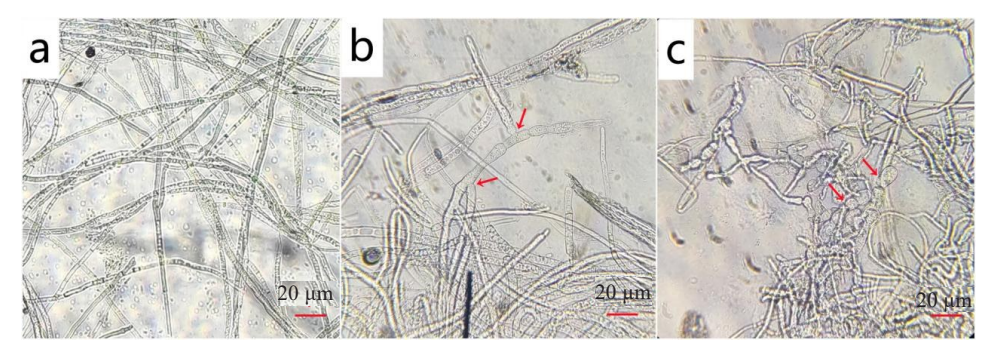


注:a. 对峙培养:b. CK。

Note: a. Confrontation culture; b. CK.

图 1 对峙培养中菌株 YF 对灰葡萄孢的抑制

Fig. 1 Inhibition of strain YF on *B. cinerea* in confrontation culture



注:a. 正常菌丝;b. 菌丝膨大变粗,分枝增多,节间缩小;c. 菌丝囊泡状畸形,细胞壁破裂,细胞质外泄。

Note: a. Normal mycelia; b. Mycelia branch increased while internode shortened; c. Vesicle-like deformity, vesicle breakdown.

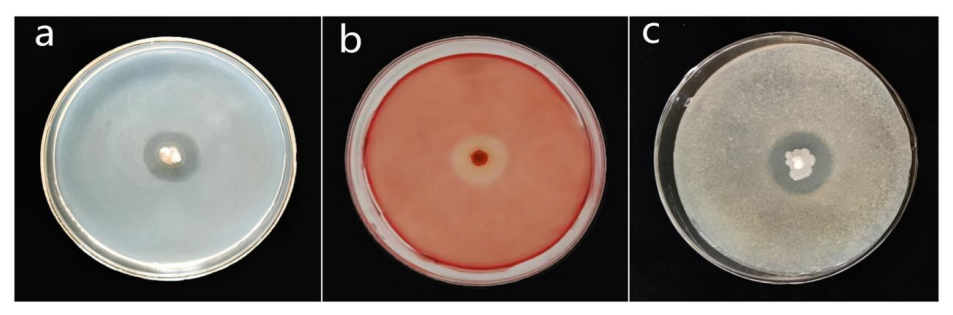
#### 图 2 对峙培养中菌株 YF 对番茄灰霉菌菌丝生长的影响

Fig. 2 Effects of strain YF on mycelium growth of B. cinerea in confrontation culture

#### 2.2 菌株 YF 的胞外酶活性测定

采用透明圈法测定生防菌 YF 胞外酶活性,如

图 3 所示,生防菌 YF 在接种 48 h 后,几丁质检测培养基、纤维素酶检测培养基与蛋白质检测培养基



注:a. 几丁质酶测定;b. 葡聚糖酶测定;c. 蛋白酶测定。

Note: a. Chitinase assay; b. Glucanase assay; c. Protease assay.

#### 图 3 菌株 YF 分泌胞外酶活性测定

Fig. 3 Determination of extracellular enzyme activity of strain YF

上均能产生明显的酶解圈,且边缘界线清晰,说明 生防菌 YF 具有较强的降解几丁质、蛋白质和纤维素的能力,可产生几丁质酶、纤维素酶和蛋白 酶。根据 D 值可知,几丁质酶活性水平最高,为+++;葡聚糖酶和蛋白酶活性水平次之(表1)。

表 1 菌株 YF 分泌胞外酶活性水平统计

Table 1 Statistics of extracellular enzyme secretion activity levels of strain YF

生防因子 Biological control factor	透明圈直径 Diameter of transparent ring/cm	菌落直径 Colony diameter/cm	D 值 D value/cm	活性水平 Activity level
蛋白酶 Protease	2.43±0.15	0.96±0.2	1.47	++
葡聚糖酶 Glucanase	2.30±0.10	$0.50\pm0.1$	1.80	++
几丁质酶 Chitinase	2.26±0.15	$0.80\pm0.1$	2.18	+++

注:+++表示 D=1~2 cm;++表示 D=0.5~1 cm。

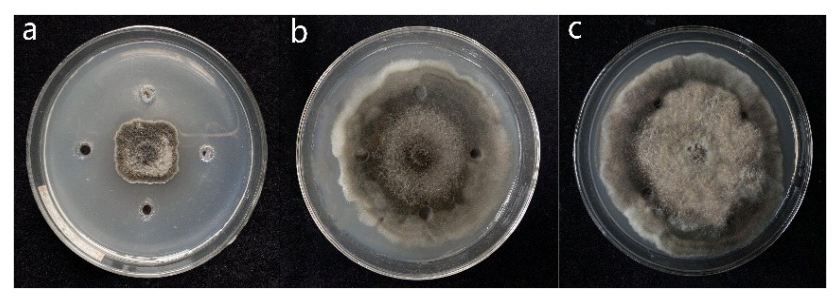
Note: +++ indicates D=1-2 cm; ++ indicates D=0.5-1 cm.

#### 2.3 生防菌 YF 发酵液萃取物质的抑菌效果

为进一步探究抑菌活性物质的真正来源,采用正丁醇对发酵液进行萃取,并采用平板打孔法做抑菌活性试验,培养 5 d 后,结果如图 4 所示,与空白对照组相比,萃取物处理组抑菌带明显,空白对照组菌落呈圆形生长,抑制率为 67.86%;甲醇对照组生长与空白对照组无明显差异。

#### 2.4 生防菌 YF 对8种病原菌的抑菌作用

通过平板对峙试验法验证了菌株 YF 对常见的 8 种植物病原菌的抑制情况(图 5)。菌株 YF 与禾谷镰刀菌、番茄匍柄霉、马铃薯立枯丝核菌、番茄链格孢、细极链格孢、番茄晚疫病菌、核盘菌、尖孢镰刀菌的对峙培养结果表明,以上几种病原真菌在菌株 YF 的影响下生长都被抑制了,抑菌率最低为

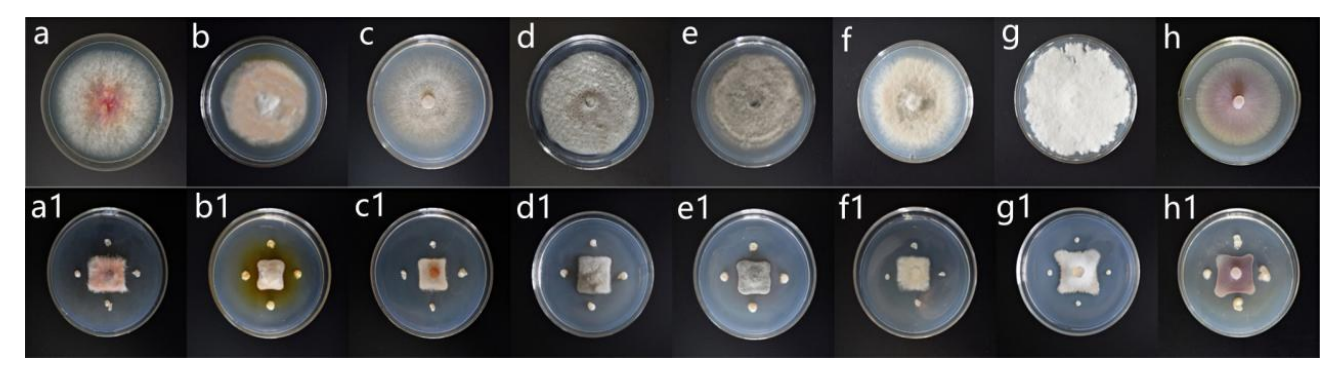


注:a. 萃取物处理;b. 甲醇对照;c. 空白对照。

Note: a. Extract treatment; b. Methanol control; c. Blank control.

#### 图 4 菌株 YF 发酵液萃取抑菌效果测定

Fig. 4 The bacteriostatic effects of YF fermentation broth extraction



注:a~h 分别为禾谷镰刀菌、番茄匍柄霉、马铃薯立枯丝核菌、番茄链格孢、细极链格孢、番茄晚疫病菌、核盘菌、尖孢镰刀菌对照组;a1~h1分别为8种病原菌的对峙培养组。

Note: a-h were Fusarium graminearum, Stemphylium lycopersici, Rhizoctonia solani, Alternaria solani, Alternaria tenuissima, Phytophthora infestans, Sclerotinia sclerotiorum and Fusarium oxysporum respectively as control group; a1-h1 were the confrontation culture group of 8 pathogens.

图 5 菌株 YF 抑菌谱的测定

Fig. 5 Determination of antimicrobial spectrum of strain YF

57.69%(核盘菌),最高达到了 68.57%(马铃薯立枯 丝核菌)(表 2)。拮抗菌株 YF 抑制多种植物病原 真菌的生长,综合防治效果好,广谱性较好,具有 开发菌剂的潜能。

表 2 生防菌 YF 对 8 种病原菌的拮抗作用
Table 2 Antagonistic effects of biocontrol strain YF
against 8 pathogenic species

	处理菌落 半径	对照菌落 半径	抑菌率
病原菌	Treatment	Control	Inhibition
Pathogen strain	colony	colony	rate/%
	radius/cm	radius/cm	
禾谷镰刀菌	2.7±0.2	7.5±0.2	64.00
Fusarium graminearum			
番茄匍柄霉	2.2±0.2	$6.3 \pm 0.3$	65.07
Stemphylium lycopersici			
马铃薯立枯丝核菌	2.2±0.2	$7.0 \pm 0.3$	68.57
Rhizoctonia solani			
番茄链格孢	$2.5 \pm 0.2$	$7.3 \pm 0.3$	65.75
Alternaria solani			
细极链格孢	2.5±0.2	$6.5 \pm 0.3$	61.53
Alternaria tenuissima			
番茄晚疫病菌	2.5±0.1	$6.7 \pm 0.2$	62.68
Phytophthora infestans			
核盘菌	$3.3 \pm 0.1$	$7.8 \pm 0.3$	57.69
Sclerotinia sclerotiorum			
尖孢镰刀菌	2.6±0.2	$6.2 \pm 0.3$	58.06
Fusarium oxysporum			

# 3 讨论与结论

番茄灰霉病是农业生产上的毁灭性病害,大规 模的病害暴发对整个番茄产业的健康发展造成巨 大的影响。为此除了常规的化学农药防治番茄灰 霉病以外,目前探索出了多种防治剂,例如,CuZn 和 ZnO 纳米材料、壳聚糖修饰氧化铜纳米复合材 料[20-21]、植物精油[22-24]、苦杏仁叶提取乳剂[25]、生防菌 剂[26-30]等均具有良好的防治效果。随着抗药性风险 的日益增大及人们对农药残留和环境污染的重视, 生物防治因安全无毒、对环境友好及稳定等优点, 受到越来越多研究者的关注并成为防治植物病害 的热点。研究表明,通过生物活性测定、酶活性测 定等,可确定菌株对病原菌的抑制作用及对植物的 生理生化变化和病害抗性的影响。刘洋等[31]分离出 的 1 株芽孢杆菌能产生蛋白酶和纤维素酶降解病 原真菌细胞壁中的蛋白质和纤维素,破坏病原菌菌 丝从而抑制病原菌的生长。郑丽[32]研究发现,生防 菌株的防治效果与菌株蛋白酶的活性呈正相关。 李梅云等[33]研究发现,木霉(Trichoderma spp.)对烟 草疫霉(Phytophthora nicotianae)生长有抑制作用,

供试 3 株木霉菌株均能产  $\beta$ -1,3-葡聚糖酶和纤维素 酶,且这2种酶均参与烟草疫霉细胞壁的消解。 Kakar 等[34]和 Yuan 等[35]证实假单胞菌可以产生多种 抗微生物物质(如氰化氢、吡咯硝基、环脂肽和吡虫 啉等)和多种水解酶(纤维素酶等)来抑制番茄灰霉 病病菌的生长。Deng等同研究发现, P. polymyxa JSa-9 对多种病原菌表现出广泛的拮抗活性,这种 现象可能是由于在 P. polvmvxa JSa-9 的发酵液中存 在广谱抗菌化合物,对这些被测试的病原菌有拮抗 活性,采用高效液相色谱和质谱联用等方法从菌株 JSa-9 的发酵液中分离鉴定出 2 种抗菌化合物均为 抗生素。因为菌株不同,所分泌的抗菌物质也有所 不同,刘晶晶等[37]研究表明,拮抗茄子黄萎病病原菌 的 1 株多黏类芽孢杆菌分泌的主要抑菌物质为杀 镰孢菌素。金美芳等[38]研究结果显示,多黏类芽孢 杆菌 S960 可以分泌抗菌活性蛋白,包括  $\alpha$ -氨基酸、 苯丙氨酸、羟脯氨酸或脯氨酸等抑制病原菌的生 长。然而,多黏类芽孢杆菌抑制灰葡萄孢菌的分子 机制尚不清楚,所以本研究通过测定多黏类芽孢杆 菌 YF 胞外酶活性和提取发酵液抗菌物质对其生防 机制进行了初步探究。

结果表明,通过对峙培养番茄灰霉菌菌丝,观 察到处理组的灰葡萄孢菌菌丝生长速度缓慢,并且 菌丝的数量变少;在显微镜下对比观察处理组菌丝 与对照组菌丝,处理组菌落边缘菌丝由于受到生防 菌 YF 的抑制作用,形态发生异常,菌丝变粗、膨大 并出现囊泡状变异。对生防菌 YF 生防因子的初步 探究发现,多黏类芽孢杆菌 YF 的抑制作用之一是 通过分泌几丁质酶、葡聚糖酶和蛋白酶等胞外酶来 抑制病原菌的生长,表明芽孢杆菌产生的胞外酶分 泌物与菌株的抑菌能力存在相关性,与前人报道一 致[39-42]。本研究通过生防菌发酵液萃取物质的抑菌 试验发现其抑菌效果良好,参考前人对芽孢杆菌属 发酵液萃取的成分研究,抑菌成分可能为脂肽类抗 生素、细菌素、嗜铁素和其他抗菌蛋白等物质[43-44]。 且多黏类芽孢杆菌 YF 对常见植物病害具有广谱抗 性,因此多黏类芽孢杆菌 YF 是 1 株有应用前景的 生防菌。本试验结果为今后生防菌的研究提供了 新的思路和方向。

#### 参考文献

- [1] 甘中祥,刘磊,李鑫,等.我国加工番茄产业现状及发展[J].中国蔬菜,2025(6):9-13.
- [2] 左娇,胡荣娟,夏爱萍,等.助剂 3%卵磷脂•维生素 E 对不同 杀菌剂防治番茄灰霉病的增效作用[J].中国蔬菜,2022(3):

- 89-93
- [3] 荆卓琼,郭致杰,徐生军,等.解淀粉芽孢杆菌 HZ-6-3 的筛选 鉴定及其防治番茄灰霉病效果的评价[J].草业学报,2020,29 (2):31-41.
- [4] 张体敏,高霞,田瑞新,等.番茄灰霉病的防治研究进展[J].园 艺与种苗,2022,42(2):28-29.
- [5] LI Y G, CAI Y N, LIANG Y B, et al. Assessment of antifungal activities of a biocontrol bacterium BA17 for managing postharvest gray mold of green bean caused by *Botrytis cinerea*[J]. Postharvest Biology and Technology, 2020, 161:111086.
- [6] ZHANG M J, LI J L, SHEN A R, et al. Isolation and identification of *Bacillus amyloliquefaciens* IBFCBF-1 with potential for biological control of *Phytophthora* blight and growth promotion of pepper[J]. Journal of Phytopathology, 2016, 164 (11/12): 1012-1021.
- [7] 杨琦瑶,索雅丽,郭荣君,等.枯草芽孢杆菌 B006 对黄瓜枯萎病菌和辣椒疫霉病菌的抑制作用及其抗菌组分分析[J].中国生物防治学报,2012,28(2):235-242.
- [8] WESELOWSKI B, NATHOO N, EASTMAN A W, et al, Isolation, identification and characterization of *Paenibacillus polymyxa* CR1 with potentials for biopesticide, biofertilization, biomass degradation and biofuel production[J]. BMC Microbiology, 2016, 16:244.
- [9] LIU H, LIU K, LI Y H, et al. Complete genome sequence of Paenibacillus polymyxa yc0136, a plant growth-promoting rhizobacterium isolated from tobacco rhizosphere[J]. Genome Announcement, 2017, 5(6):e01635.
- [10] 赵爽,刘伟成,裘季燕,等.多黏类芽孢杆菌抗菌物质和防病机制之研究进展[J].中国农学通报,2008,24(7):347-350.
- [11] 郭赛赛,张敬泽.多黏类芽孢杆菌及其脂肽化合物研究进展[J]. 农药学学报,2019,21(Z1):787-798.
- [12] VATER J, NIU B, DIETEL K, et al. Characterization of novel fusaricidins produced by *Paenibacillus polymyxa* M1 using MALDI-TOF mass spectrometry[J]. Journal of The American Society for Mass Spectrometry, 2015, 26(9):1548-1558.
- [13] RYBAKOVA D, RACK-WETZLINGER U, CERNAVA T, et al. Aerial warfare: A volatile dialogue between the plant pathogen *Verticillium longisporum* and its antagonist *Paenibacillus polymyxa*[J]. Frontiers in Plant Science, 2017, 8:1294.
- [14] BEATTY P H, JENSEN S E. *Paenibacillus polymyxa* produces fusaricidin-type antifungal antibiotics active against *Leptosphae-ria maculans*, the causative agent of blackleg disease of canola[J]. Canadian Journal of Microbiology, 2002, 48 (2): 159-169.
- [15] 谢颖,刘祎炜,刘安巧,等.一株 *Thuidium cymbifolium* 内生细菌的鉴定及其抑制真菌活性研究[J]. 化学与生物工程,2020, 37(12):17-21.
- [16] 石杨,吕长平,帅佳琪,等.牡丹炭疽病菌拮抗内生细菌的分离 鉴定及促生作用[J].江苏农业科学,2022,50(16):114-120.
- [17] 刘晓婷,姚拓,马亚春,等.植物根际促生菌发酵液中植物激素 含量的液液萃取-高效液相色谱测定法[J].草业科学,2022,39 (10):2222-2228.

- [18] 丁森,叶建仁. 瓦雷兹芽孢杆菌 YH-20 发酵液的抑菌特性初探[J]. 西部林业科学, 2019, 48(5): 81-88.
- [19] ZHANG Q X, XING C L, LI S Y, et al. *In vitro* antagonism and biocontrol effects of *Paenibacillus polymyxa* JY1-5 against *Botrytis cinerea* in tomato[J]. Biological Control, 2021, 160: 104689.
- [20] ISMAIL A M, MOSA M A, ELGANAINY S M. Chitosan-decorated copper oxide nanocomposite: Investigation of its antifungal activity against tomato gray mold caused by *Botrytis cinerea*[J].Polymers,2023,15(5):1099.
- [21] TTRYFON P, KAMOU N N, MOURDIKOUDIS S, et al. CuZn and ZnO nanoflowers as nano-fungicides against *Botrytis cine-rea* and sclerotinia sclerotiorum: phytoprotection, translocation, and impact after foliar application[J]. Materials, 2021, 14(24): 7600.
- [22] RGUEZ S, SELLAMI I H, ABID G, et al. Tetraclinis articulata essential oil emulsion use as alternative to chemical fungicide to control tomato grey mould disease[J]. International Journal of Environmental Health Research, 2023, 34(2)1100-1112.
- [23] ZHAO Y, YANG Y H, YE M, et al. Chemical composition and antifungal activity of essential oil from *Origanum vulgare* against *Botrytis cinerea*[J]. Food Chemistry, 2021, 365:130506.
- [24] EBRAHIMI L, JALALI H, ETEBARIAN H R, et al. Evaluation of antifungal activity of some plant essential oils against tomato grey mould disease[J]. Journal of Plant Pathology, 2022, 104 (2):641-650.
- [25] YYUSOFF S F, HARON F F, ASIB N, et al. Development of *Vernonia amygdalina* leaf extract emulsion formulations in controlling gray mold disease on tomato (*Lycopersicon esculentum* Mill.)[J]. Agronomy, 2021, 11(2):373.
- [26] LIPA D, PRANAB D, DUTTA P. Antagonistic potential of *Beauveria bassiana* (Balsamo) Vuillemin against *Pythium myriotylum* causing damping off of tomato[J]. Indian Phytopathology, 2021,74(3):715-728.
- [27] ZHENG L N, ZHANG J P, WU X, et al. A novel biocontrol strain *Pantoea jilinensis* D25 for effective biocontrol of tomato gray mold (causative agent *Botrytis cinerea*)[J]. Biological Control, 2021, 164:104766.
- [28] LAN H B, YANG Q Y, GODANA E A, et al. Efficacy of the yeast *Wickerhamomyces anomalus* in biocontrol of gray mold decay of tomatoes and study of the mechanisms involved[J]. Foods, 2022, 11(5):720.
- [29] GENG L J H, FU Y L, PENG X H, et al. Biocontrol potential of *Trichoderma harzianum* against *Botrytis cinerea* in tomato plants[J]. Biological Control, 2022, 174(1):105019.
- [30] GUO J H, XU Y, LIANG S Y, et al. Antifungal activity of volatile compounds from *Bacillus tequilensis* XK29 against *Botrytis cinerea* causing gray mold on cherry tomatoes[J]. Postharvest Biology and Technology, 2023, 198:112239.
- [31] 刘洋,朱天辉,郑磊,等.一株内生拮抗细菌的分离鉴定及其抗菌机制研究[J].植物保护,2016,42(1):33-39.
- [32] 郑丽.黄瓜霜霉病的生物防治研究[D].南京:南京农业大学,

2012.

- [33] 李梅云,李天飞,王革,等.木霉对烟草黑胫病菌的拮抗机制[J]. 植物保护学报,2002,29(4):309-312.
- [34] KAKAR K U, DUAN Y P, NAWAZ Z, et al. A novel rhizobacterium Bk7 for biological control of brown sheath rot of rice caused by *Pseudomonas fuscovaginae* and its mode of action[J]. European Journal of Planet Pathology, 2014, 138(4):819-834.
- [35] YUAN S F, LI M Y, FANG Z Y. Biological control of tobacco bacterial wilt using *Trichoderma harzianum* amended bioorganic fertilizer and the arbuscular mycorrhizal fungi *Glomus mosseae*[J]. Biological Control, 2016, 92(1):164-171.
- [36] DENG Y, LU Z X. LU F X, et al. Identification of LI-F type antibiotics and di-n-butyl phthalate produced by *Paenibacillus polymyxa*[J]. Journal of Microbiological Methods, 2011, 85(3): 175-182.
- [37] 刘晶晶,庞叶洲,张敬泽.茄子黄萎病病原菌致病型分化及其生物防治[J].浙江大学学报(农业与生命科学版),2019,45 (4):407-417.
- [38] 金美芳,丁可武,林茂兹,等.多黏类芽孢杆菌 S960 抑制尖孢镰刀菌的活性物质分离纯化[J].安徽农业大学学报,2020,47 (5):798-804.
- [39] 刘邮洲,陈夕军,尹小乐,等.23 株芽胞杆菌及其脂肽类化合物抑菌活性比较[J].江苏农业学报,2017,33(3):533-542.

- [40] TAHERI E, TARIGHI S, TAHERI P. Characterization of root endophytic *Paenibacillus polymyxa* isolates with biocontrol activity against *Xanthomonas translucens* and *Fusarium graminearum*[J]. Biological Control, 2022, 174:105031.
- [41] CHEN W M, WU Z S, HE Y H. Isolation, purification, and identification of antifungal protein produced by *Bacillus subtilis* SL-44 and anti-fungal resistance in apple[J]. Environmental Science and Pollution Research International, 2023, 30 (22): 62080-62093.
- [42] WU Z S, HUANG Y Y, Li Y, et al. Biocontrol of *Rhizoctonia* solani via induction of the defense mechanism and antimicrobial compounds produced by *Bacillus subtilis* SL- 44 on pepper (*Capsicum annuum* L.) [J]. Frontiers in Microbiology, 2019, 10:2676.
- [43] SHENG M M, JIA H K, ZHANG G Y, et al. Siderophore production by rhizosphere biological control bacteria *Brevibacillus brevis* GZDF3 of *Pinellia ternata* and its antifungal effects on *Candida albicans*[J]. Journal of Microbiology and Biotechnology, 2020, 30(5):689-699.
- [44] 石磊,郭庆港,李宝庆,等.作物 病害高效生防菌株的定向快速筛选及其种类鉴定[J]. 安徽农业科学,2012,40(24): 12068-12071.